

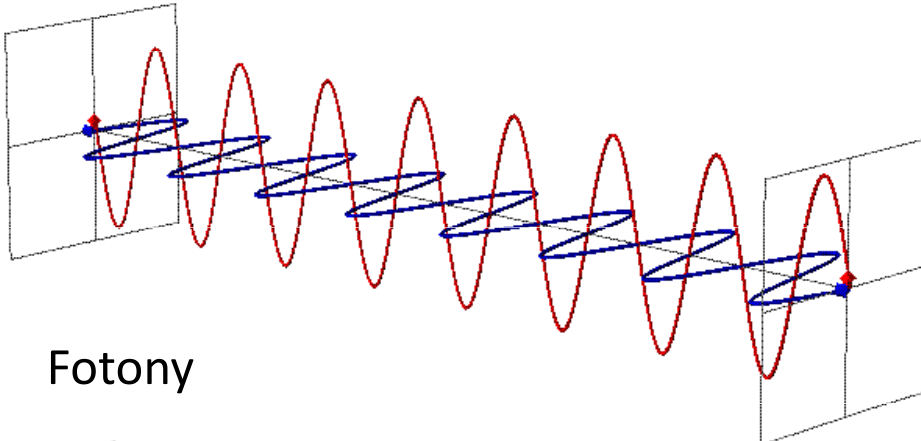


Neviditelné světlo posel z vesmíru

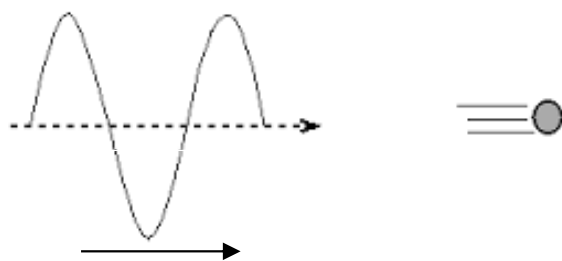
Co je světlo?



Elektromagnetické vlnění



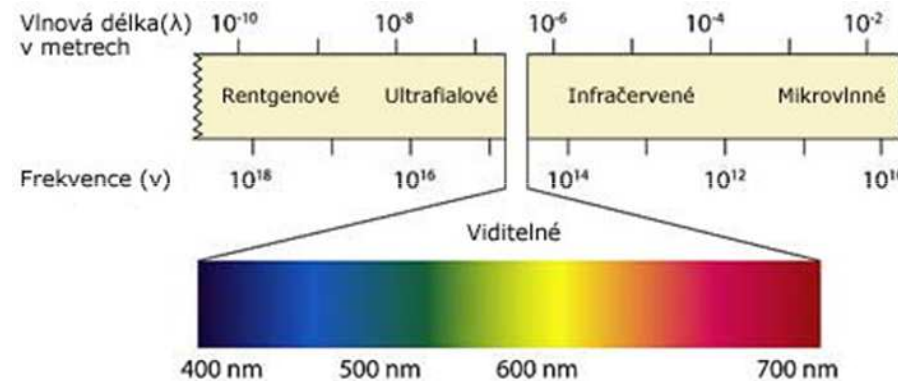
Fotony



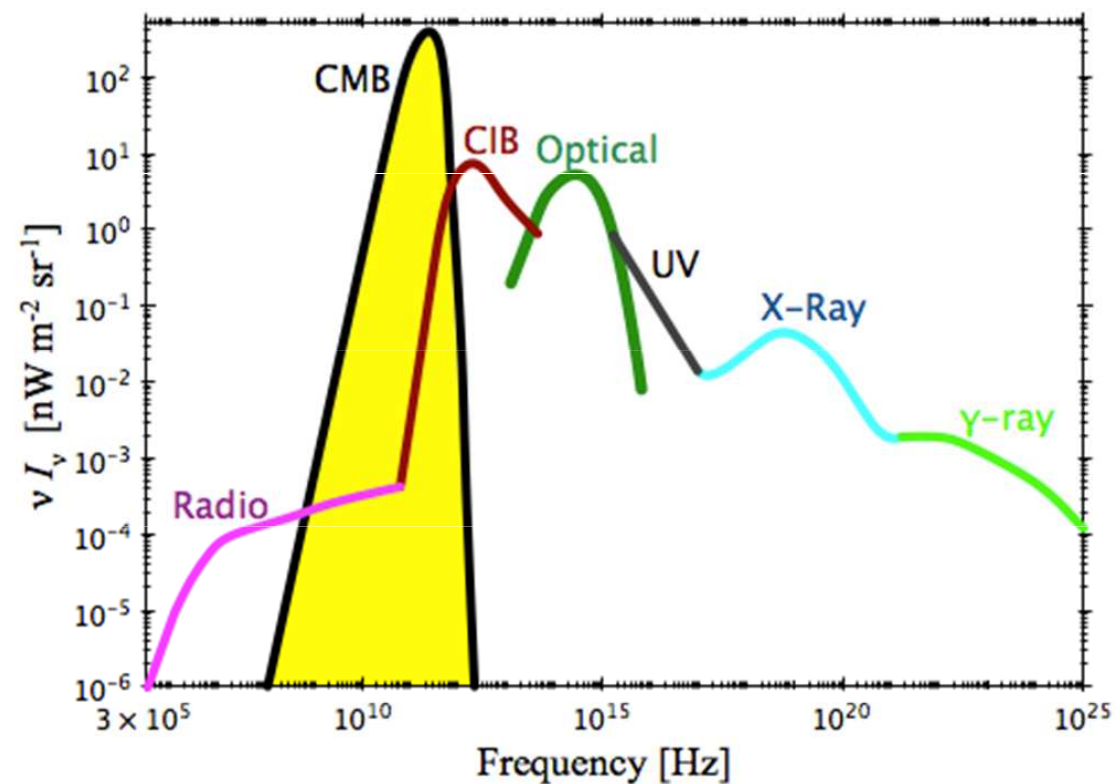
$$c = 299\ 792\ 458 \text{ ms}^{-1} \text{ (přesně)}$$

Konečná rychlosť světla

(vesmírná archeologie - pohled do vesmírné dálky)



Místo viditelného světla ve spektru



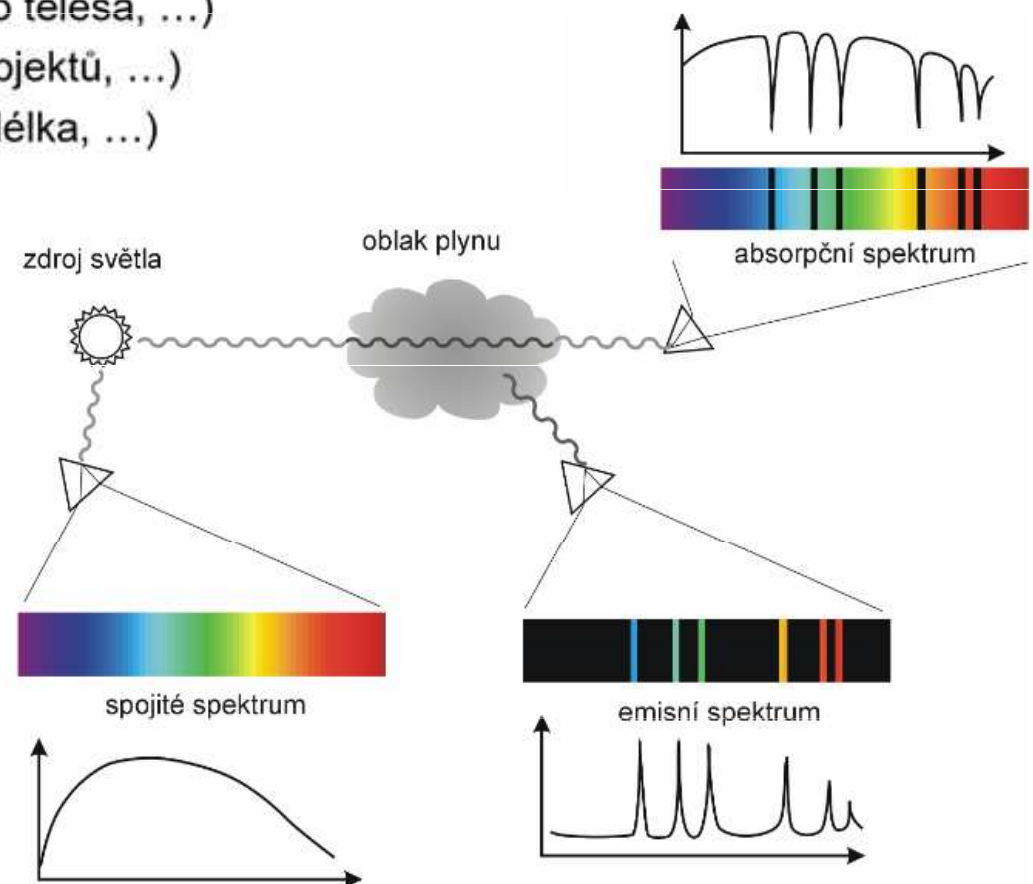
elmg vlnění, na kterém září Vesmír

Záření kosmických objektů

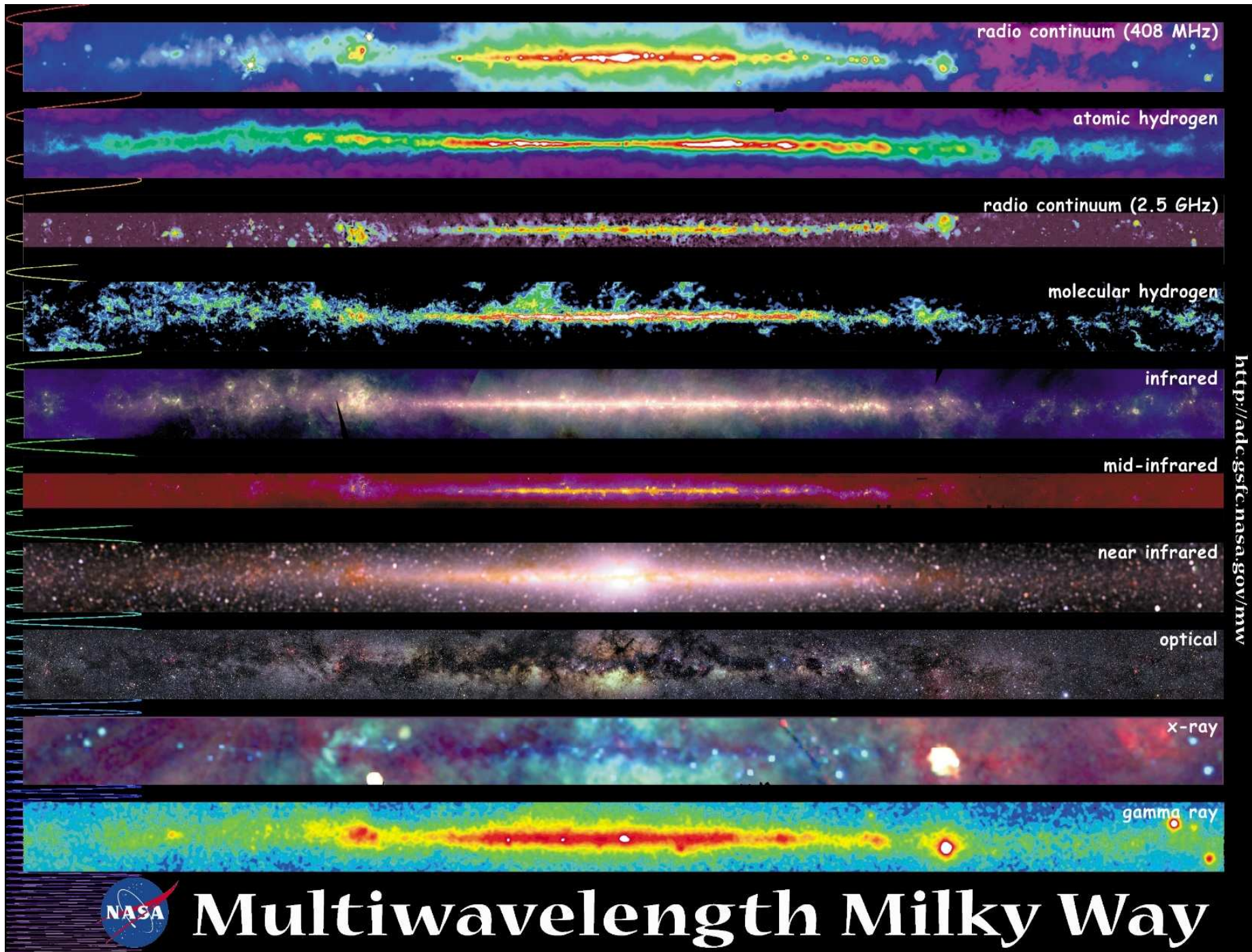
- Informace, které dostáváme z kosmického prostoru, jsou založeny na příjmu a analýze světla
- Základní data o kosmických objektech
 - směr, odkud záření přichází (poloha zářícího tělesa, ...)
 - množství kvant záření (tok záření, jasnost objektů, ...)
 - kvalitativní vlastnosti záření (barva, vlnová délka, ...)
- Spektrální analýza je nezbytnou součástí astrofyzikálního výzkumu
- Ze spektra záření daného tělesa se určuje složení tělesa a dále např. jeho stáří, atd.

Základní veličiny

- vlnová délka λ
- frekvence f
- rychlosvětla $c = 3 \cdot 10^8 \text{ m.s}^{-1}$



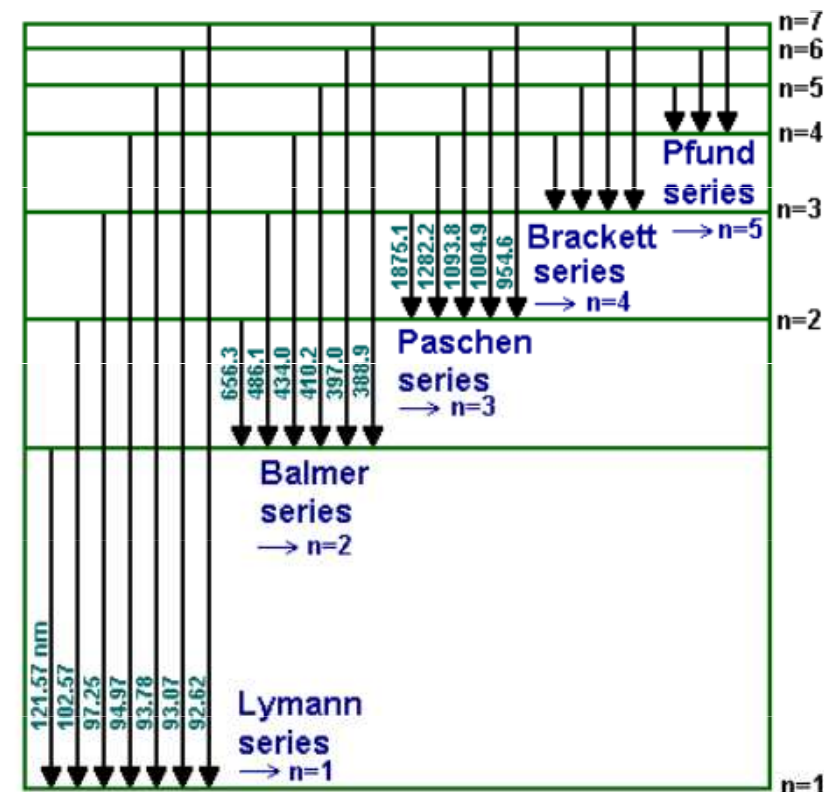
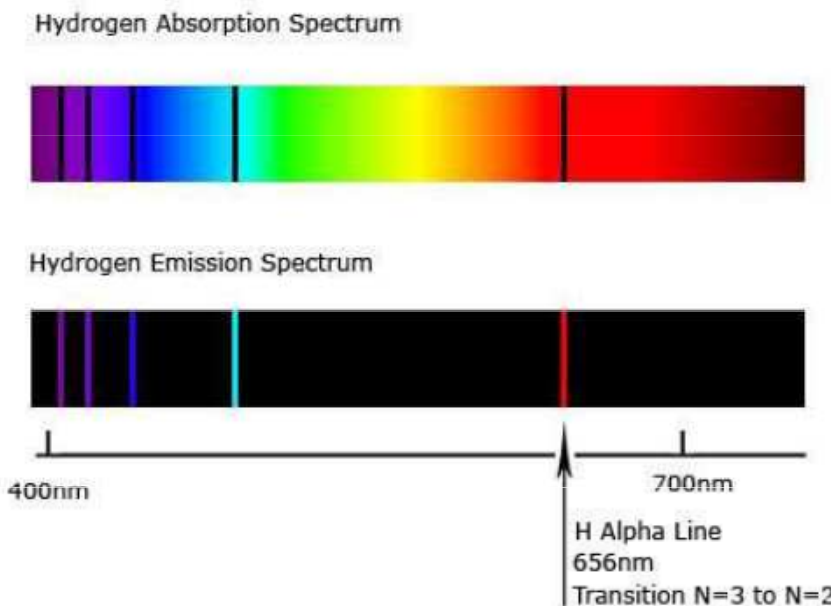
Mléčná dráha v různých spektrálních oborech



<http://adc.gsfc.nasa.gov/mw>

Spektrum vodíku

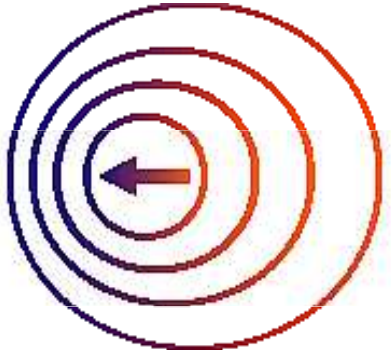
- Ve vesmíru je to nejrozšířenější prvek, proto se jeho emisní nebo absorpční spektrum objevuje často ve spektrogramech různých kosmických objektů
- Základní série spektra atomu vodíku – opět známé z atomové fyziky





Světlo ...

Vliv Dopplerova jevu na barvu světla



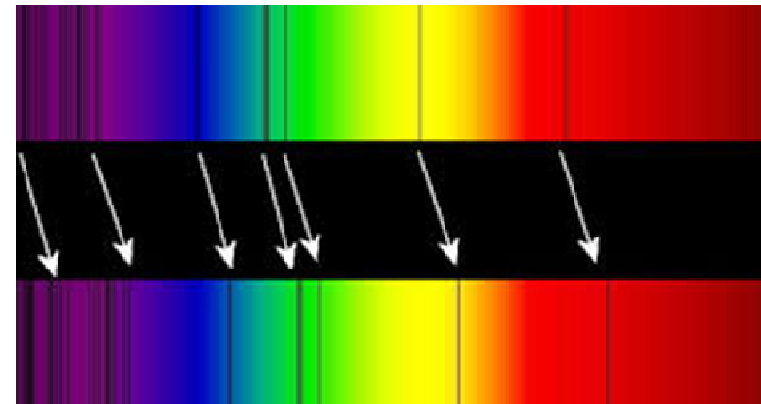
 zdroj se pohybuje k pozorovateli,
f roste, lambda se zkracuje

 zdroj se pohybuje pryč od pozorovatele
f klesá, lambda se prodlužuje

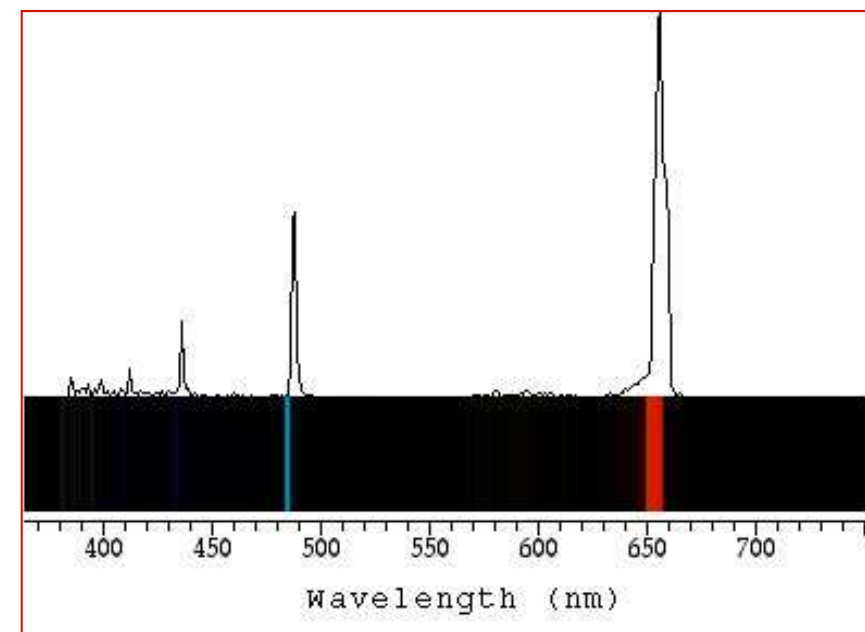
Typická
červená čára
656nm
vodíku



Vodíkový výboj v laboratoři



Sestava čar ve spektru
je otiskem prvku



Friedmann-Lemaître-Robertson-Walker



Prostor je **homogenní** a **izotropní** (má 6 symetrií) → konstantní křivost

$$ds^2 = -dt^2 + R^2(t) \left(\frac{dr^2}{1-kr^2} + r^2(d\theta^2 + \sin^2 \theta d\phi^2) \right)$$

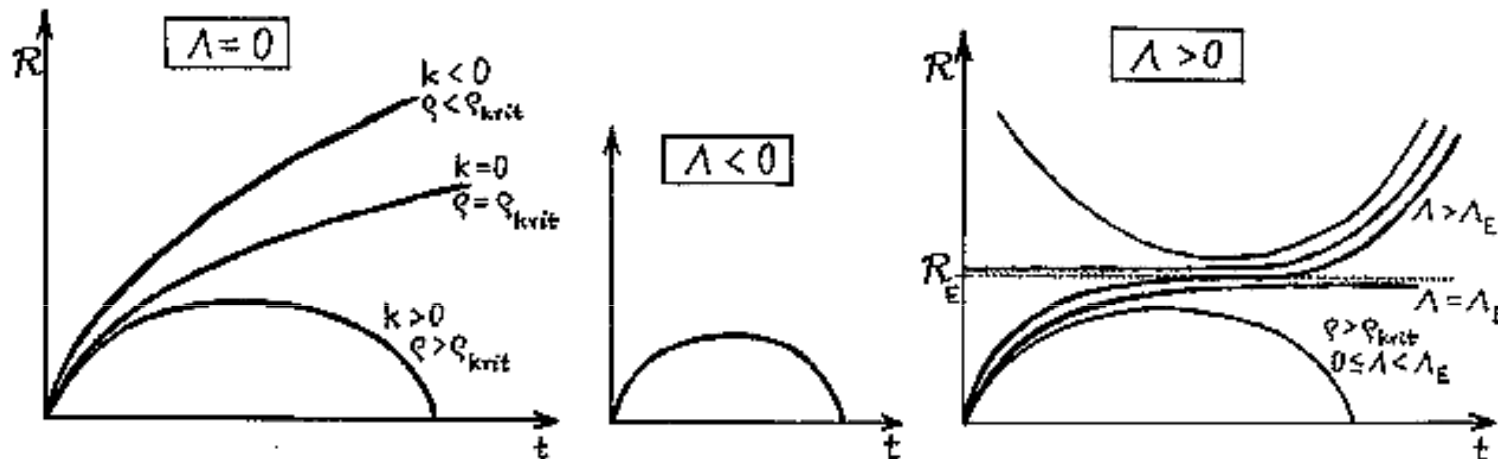
$k=0,+1,-1$ odpovídá geometrii E^3, S^3, H^3

Expanze vesmíru popsána funkcí $R(t)$, jež řeší rovnici

$$\left(\frac{dR}{dt} \right)^2 = \frac{\Lambda}{3} + \frac{k}{R^2} + \frac{8\pi G}{3c^4} \left(\frac{A}{R^3} + \frac{B}{R^4} \right)$$

kosmologická křivost hustota látky + hustota záření
 konstanta prostoru

Typická řešení: expanze z velkého třesku $R = 0$ (*singularita*), $R(t \rightarrow \infty) \square \exp(\sqrt{\frac{\Lambda}{3}}ct)$

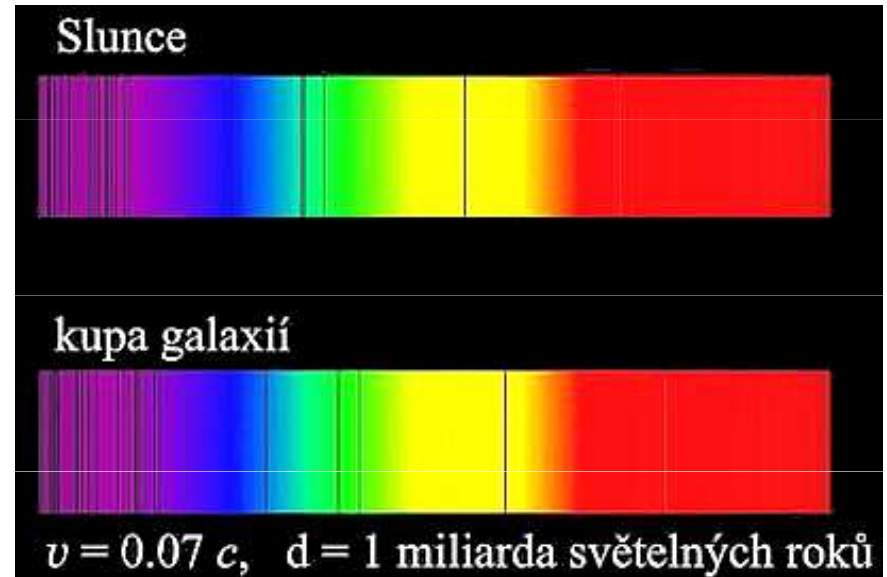


Etapa potvrzení

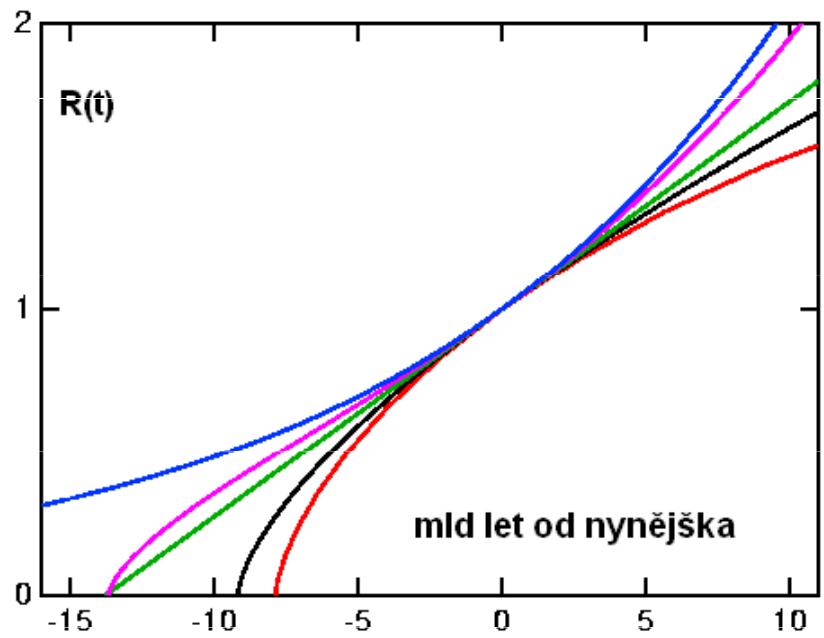
Podstatná role světla - červený posuv z Hubble, závislost rychlostí g. na vzdálenosti

$$v=H \cdot d$$

Pozorovací data a kosmologické parametry



Závislost škálového faktoru R na čase.

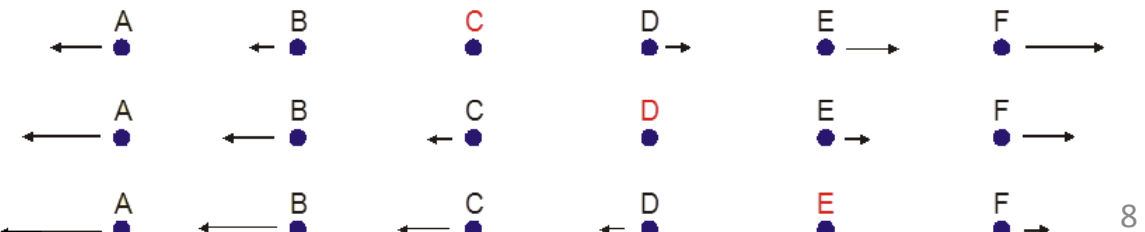


Charakteristiky expanze vesmíru:

„rychlosť“ -> H Hubbleova konstanta
„zrychlení“ -> q decelerační parametr

$$H = \frac{1}{R} \frac{dR}{dt}$$

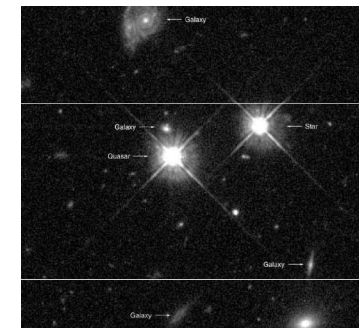
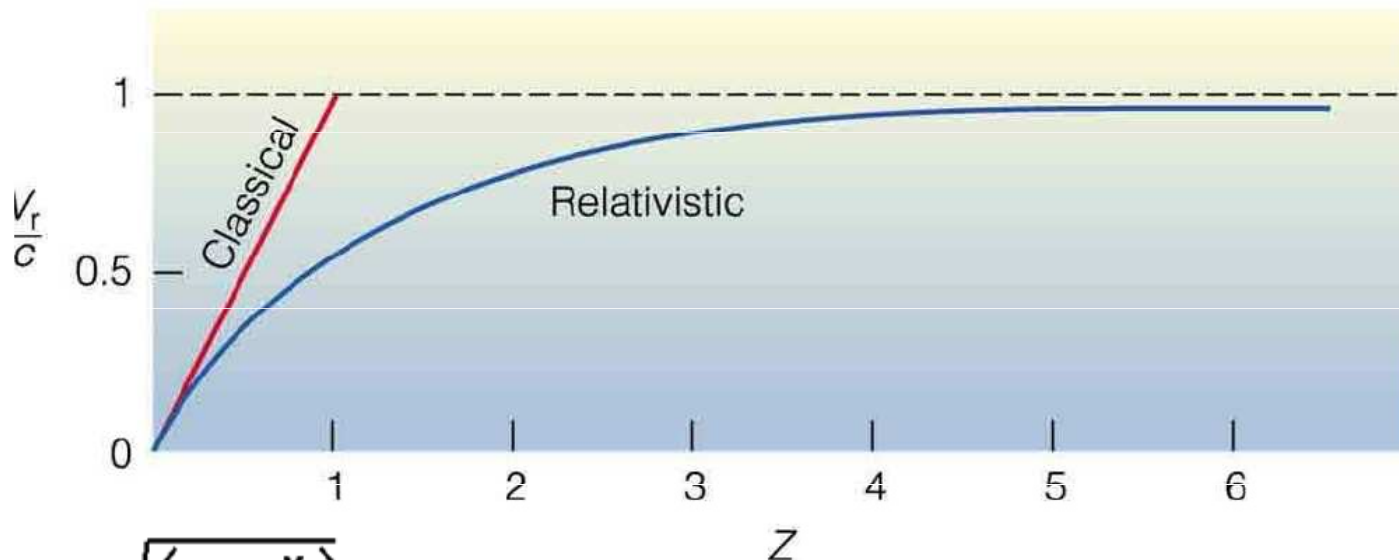
$$q = -\frac{\frac{d^2 R}{dt^2}}{R H^2}$$



Kosmologický (Dopplerův) jev - vzdalování vysílače od přijímače rozpínáním vesmíru

$$\frac{\Delta \lambda}{\lambda} = z \quad z \approx \frac{v}{c}$$

zdroj se vzdaluje od pozorovatele rychlostí mnohem menší než rychlosť světla c

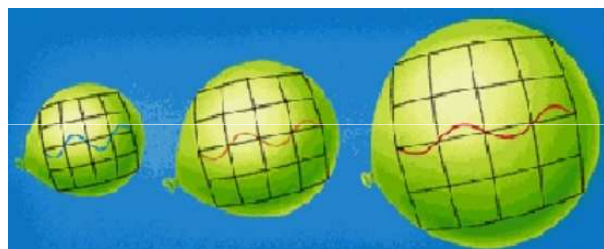


quasar

$$z = \sqrt{\frac{\left(1 + \frac{v}{c}\right)}{\left(1 - \frac{v}{c}\right)}} - 1$$

Parametr **z** souvisí s R výrazem

$$1 + z = \frac{\lambda_{observed}}{\lambda_{emitted}} = \frac{R(t_0)}{R(t)} = \frac{1}{R(t)}$$



kde pro současnost je $R_0 = 1$.

Např. pokud se posun objektu změří $z = 3$, pak $R = 1/4$ vidíme, že vesmír se od doby, kdy světlo opustilo tento objekt, rozrostl čtyřikrát.

Pokud se zdroj vzdaluje od pozorovatele rychlostí v , která je mnohem menší než rychlosť světla ($v \ll c$), je červený posun dán

$$z \approx \frac{v}{c}$$

V klasickém Dopplerově efektu není frekvence zdroje modifikována, jen recesivní pohyb způsobuje iluzi nižší frekvence.

Úplnější popis Dopplerova červeného posuvu vyžaduje vzít do úvahy relativistické účinky spojené s pohybem zdrojů blízkých rychlosti světla.

Stručně řečeno, objekty pohybující se blízko rychlosti světla zažívají odchylky od výše uvedeného vzorce kvůli časové dilataci speciální relativity, která lze napravit zavedením Lorentzova faktoru γ do klasického Dopplerova vzorce takto (pro pohyb pouze v zorném poli)

$$(\vartheta = 0^\circ), \quad 1 + z = \left(1 + \frac{v}{c}\right) \gamma. \quad \gamma = \frac{1}{\sqrt{1 - \frac{v^2}{c^2}}} = \frac{1}{\sqrt{1 - \beta^2}} = \frac{dt}{d\tau}$$

$$1 + z = \sqrt{\frac{1 + v/c}{1 - v/c}}$$

$$\vartheta = 90^\circ \quad 1 + z = \frac{1}{\sqrt{1 - v^2/c^2}}$$

Dopplerovy posuny udávají rychlosť recesie hvězd nebo galaxií, v praxi se tato rychlosť vyjadřuje pomocí rychlosťi světla c a parametru z : $v=z.c$

$$z = \frac{\Delta\lambda}{\lambda} = \sqrt{\frac{1 + \frac{v}{c}}{1 - \frac{v}{c}}} - 1 = \sqrt{\frac{1 + \beta}{1 - \beta}} - 1 \quad \beta = \frac{v}{c} = \frac{(z+1)^2 - 1}{(z+1)^2 + 1}$$

Největší změřené č. posuny mají kvasary: $z = 0,16$ až $3,53$, což odpovídá rychlosťi recesie $0,15c$ až $0,91c$.

z v sobě rovněž zahrnuje R vesmíru v době, kdy bylo světlo emitováno pozorovaným objektem. Parametr z souvisí s R výrazem

$$1 + z = \frac{\lambda_{observed}}{\lambda_{emitted}} = \frac{R(t_0)}{R(t)} = \frac{1}{R(t)}$$

kde pro současnost je $R_0 = 1$.

Např. pokud se č. posun objektu se změří $z = 3$, pak $R = 1/4$ a vidíme, že vesmír se od doby, kdy světlo opustilo tento objekt, rozrostl o čtyřikrát.

Vlnová délka přijímaného záření se zvětšila čtyřikrát, protože prostor se během průchodu z emitujícího objektu rozšířil čtyřikrát.

Při velkých hodnotách z je redshift dán hlavně kosmologickým redshiftem a není platným měřítkem skutečné recesivní rychlosťi objektu vůči nám.

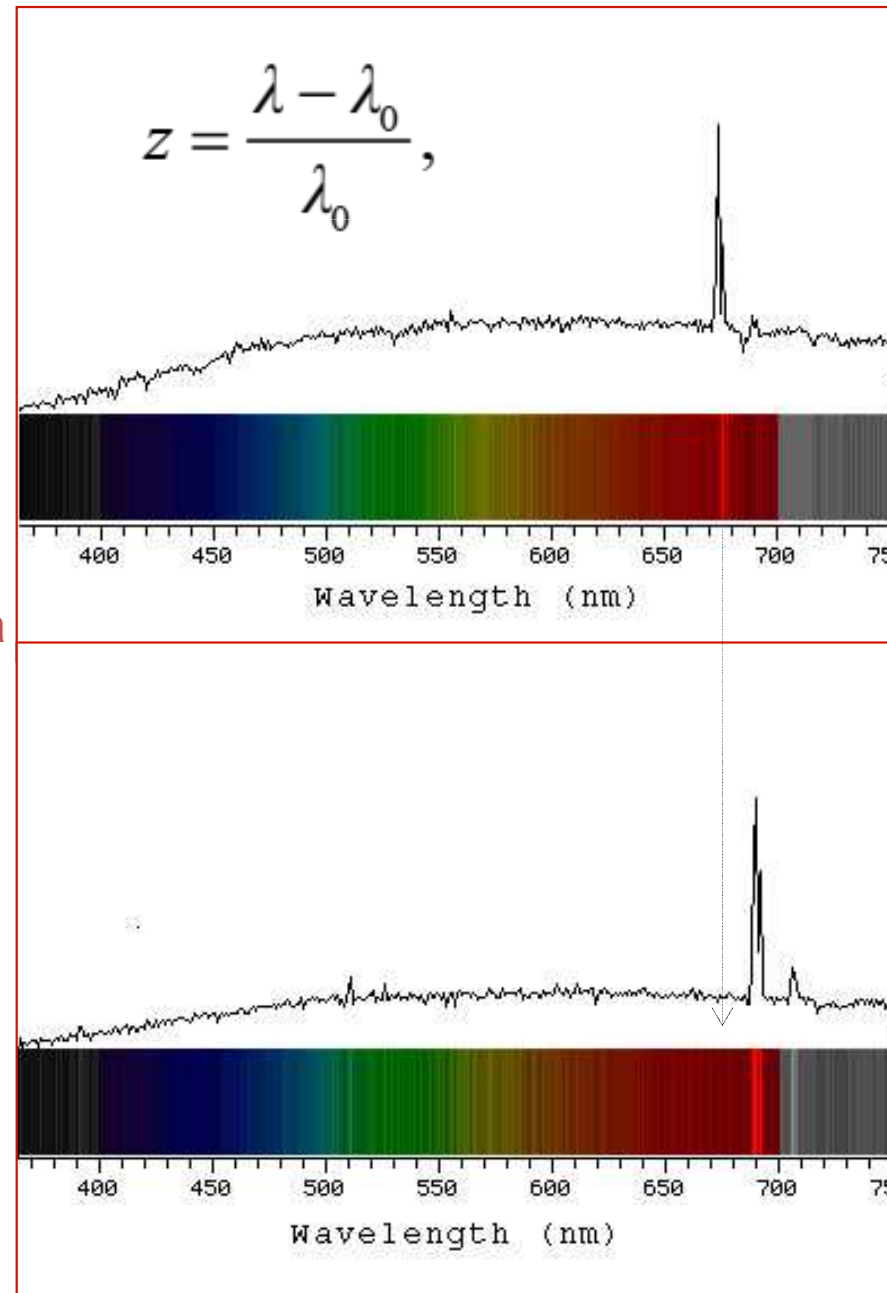
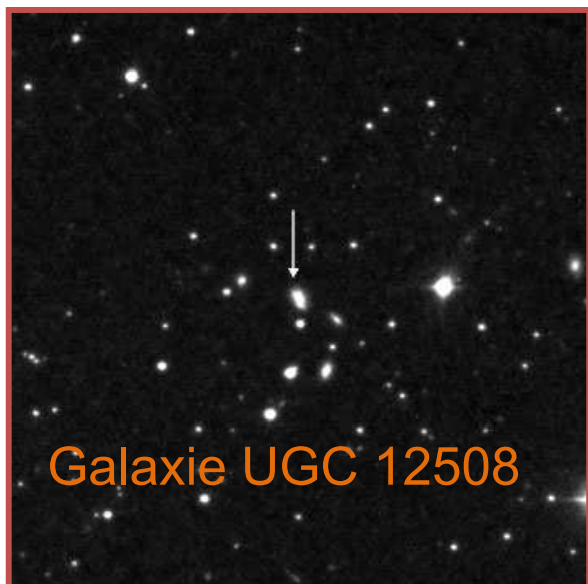
$$\rho_m = \frac{\rho_{m,0}}{R^3} = \rho_{m,0}(1+z)^3$$

Parametr z lze také používat k posouzení hustoty látky ve srovnání s hustotou ρ_0 nyní

Rudý – červený posuv z – důkaz rozpínání vesmíru



Typická
červená čára
 $\text{H}\alpha$
656 nm
vodík



Vzdálenější galaxie vykazují větší rudý posuv vykazuje, rychlosť jejich vzdalování roste se vzdáleností.

Rychlosť vzdialování galaxií (a pri malých vzdálenostech i rudý posuv) je úmerná vzdálenosti

Experimentální ověření $v = H \cdot d$

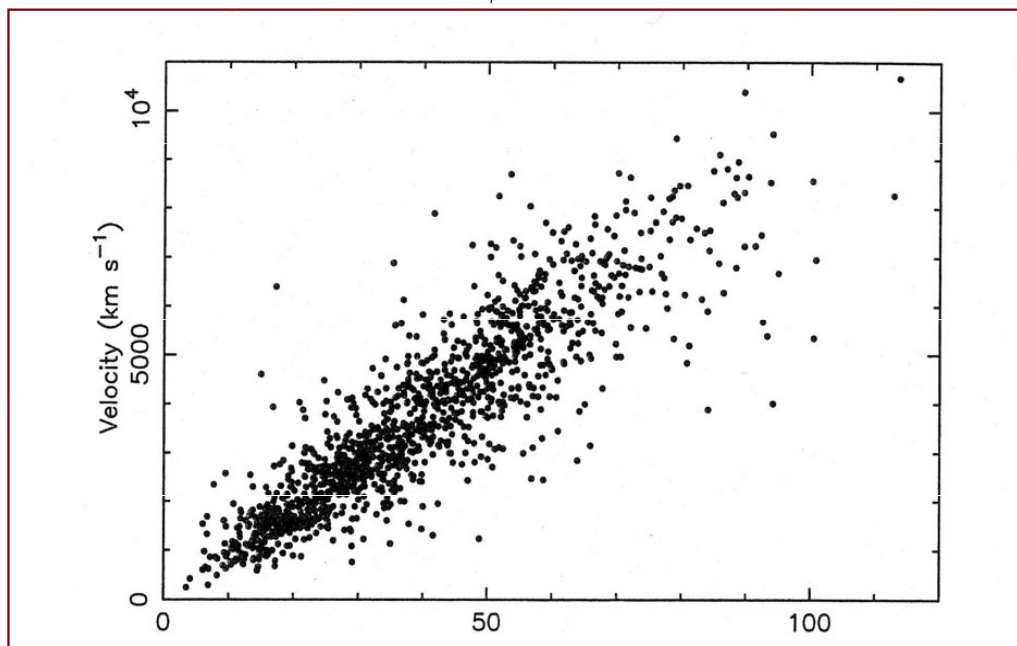
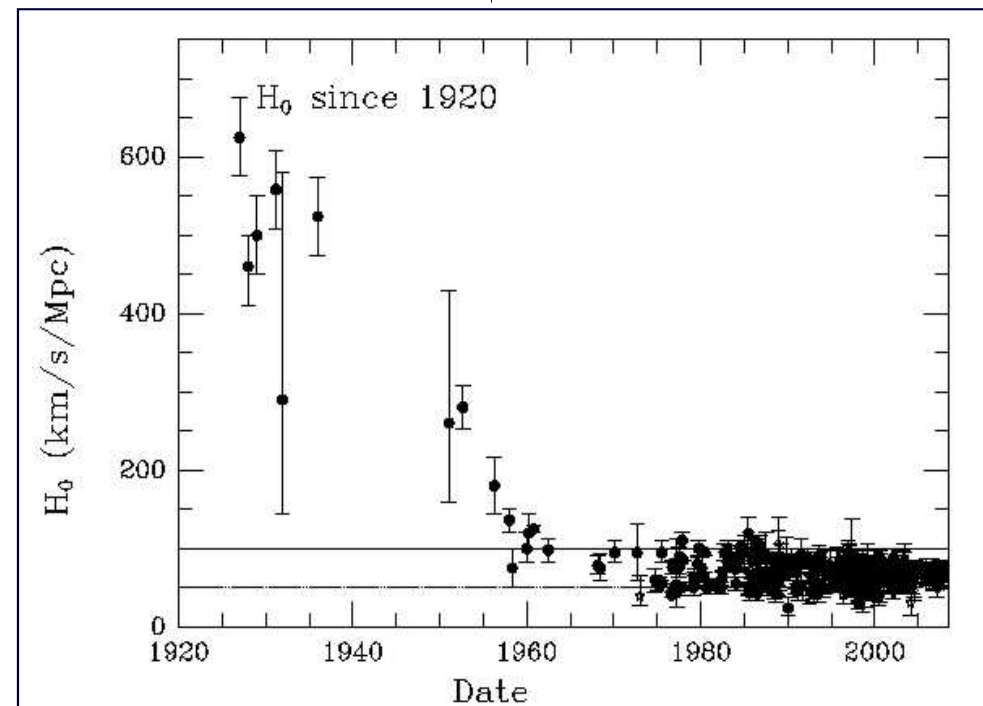


Figure 2.5 A plot of velocity versus estimated distance for a set of 1355 galaxies. A straight-line relation implies Hubble's law. The considerable scatter is due to observational uncertainties and random galaxy motions, but the best-fit line accurately gives Hubble's law. [The x-axis scale assumes a particular value of H_0 .]

Zpřesňování měření Hubbleovy konstanty

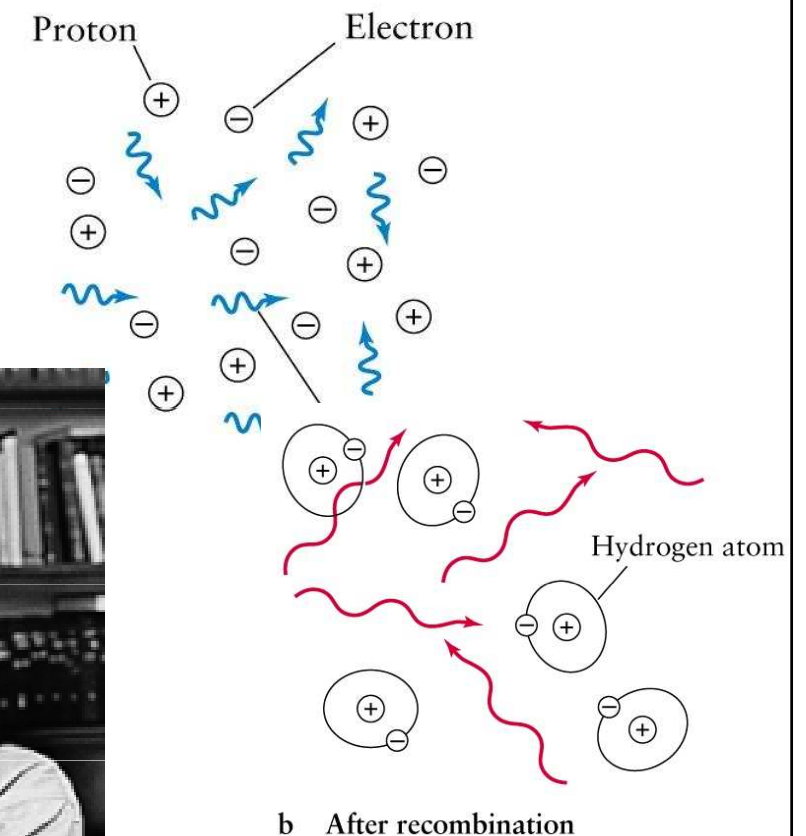
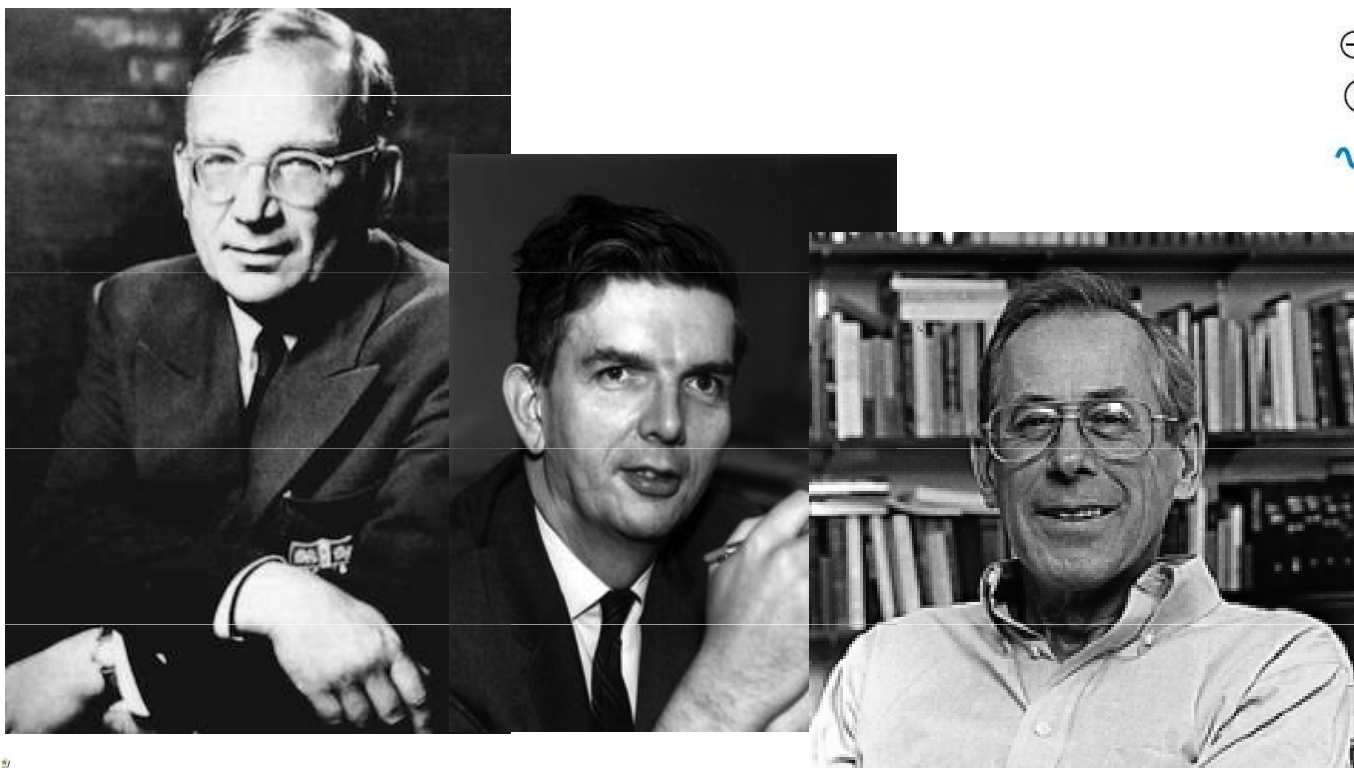
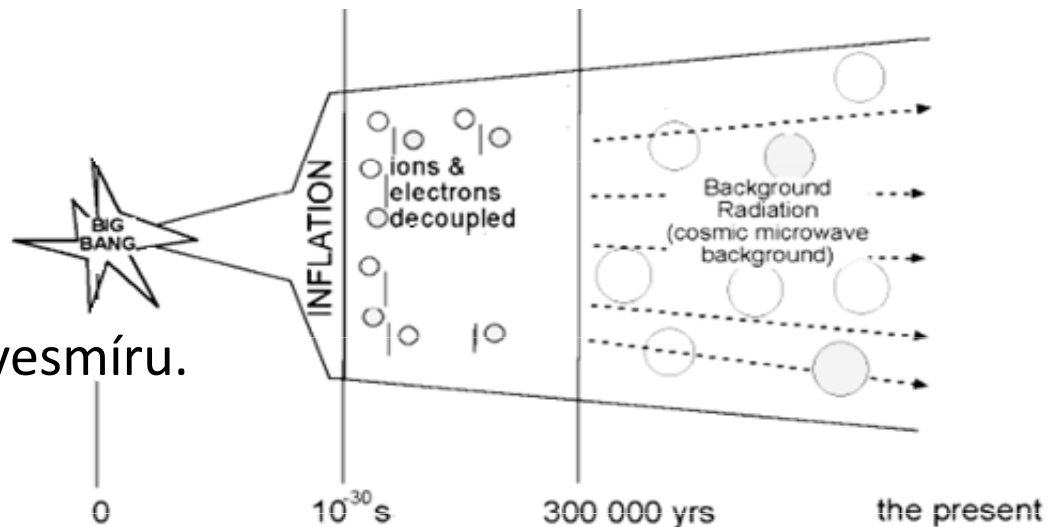


ze studia anizotropií reliktního záření

$$H = 0,71 \pm 0,04 \text{ km}\cdot\text{s}^{-1}\cdot\text{Mpc}^{-1}$$

II. Etapa

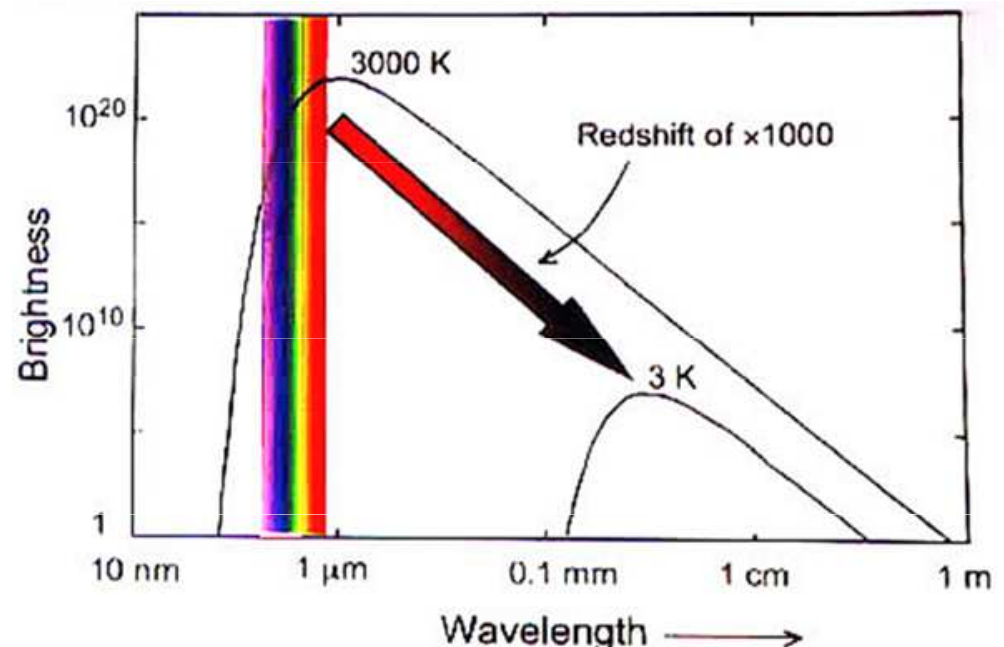
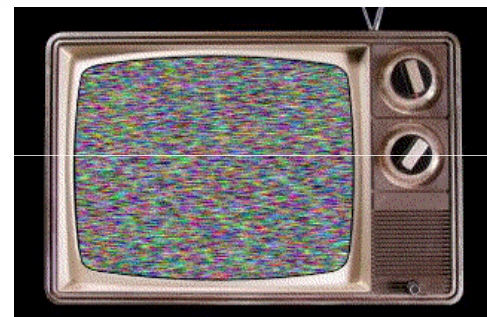
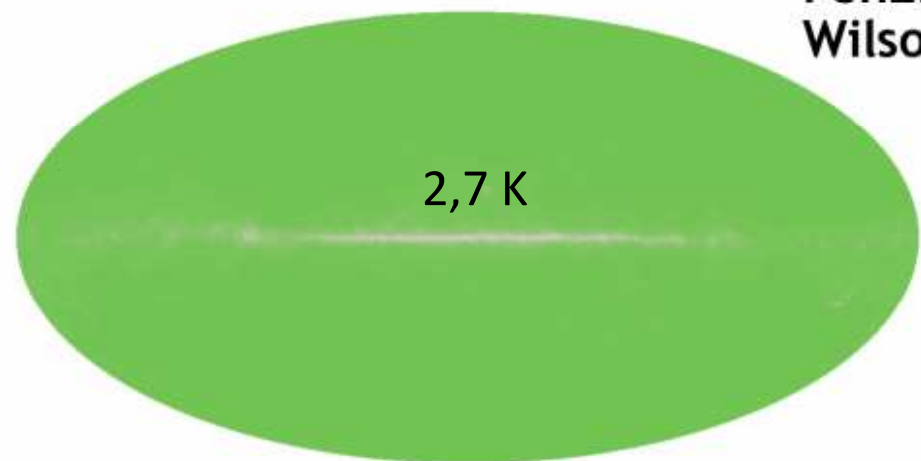
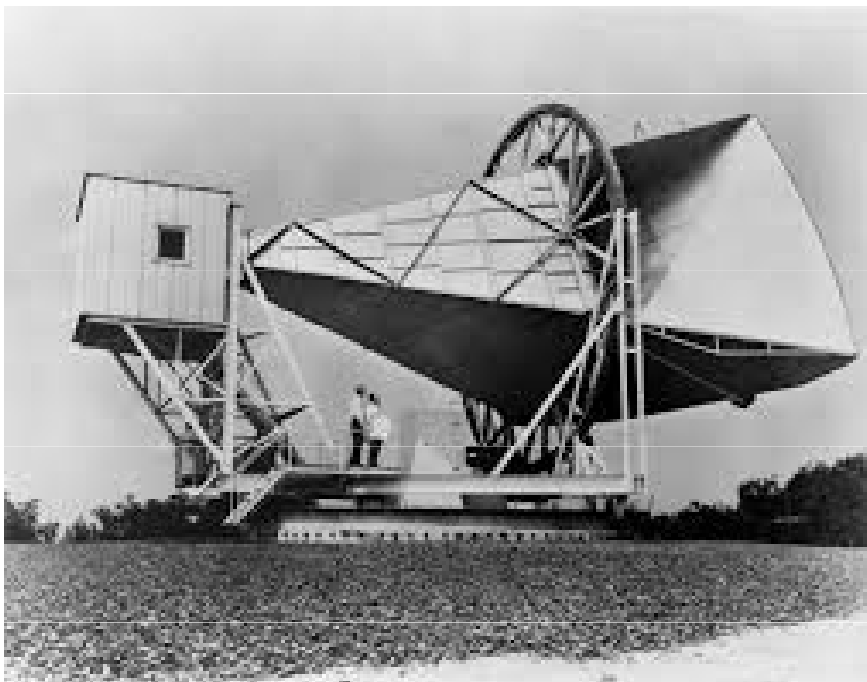
- Vznik prvků ve vesmíru.
- Světlo jako dominantní faktor v raném vesmíru.
- Reliktní záření, odtržení světla od látky,
- Rekombinace a reionizace



b After recombination

II. Etapa potvrzení

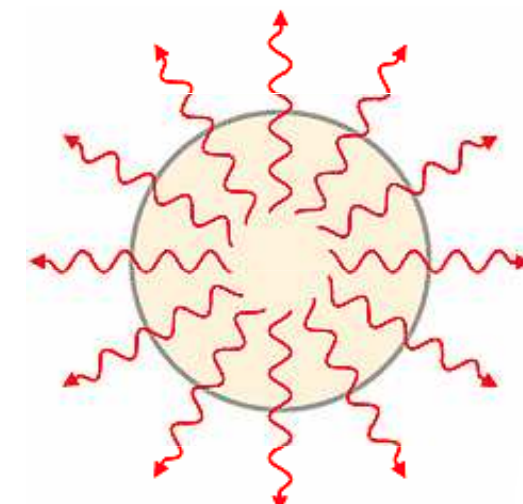
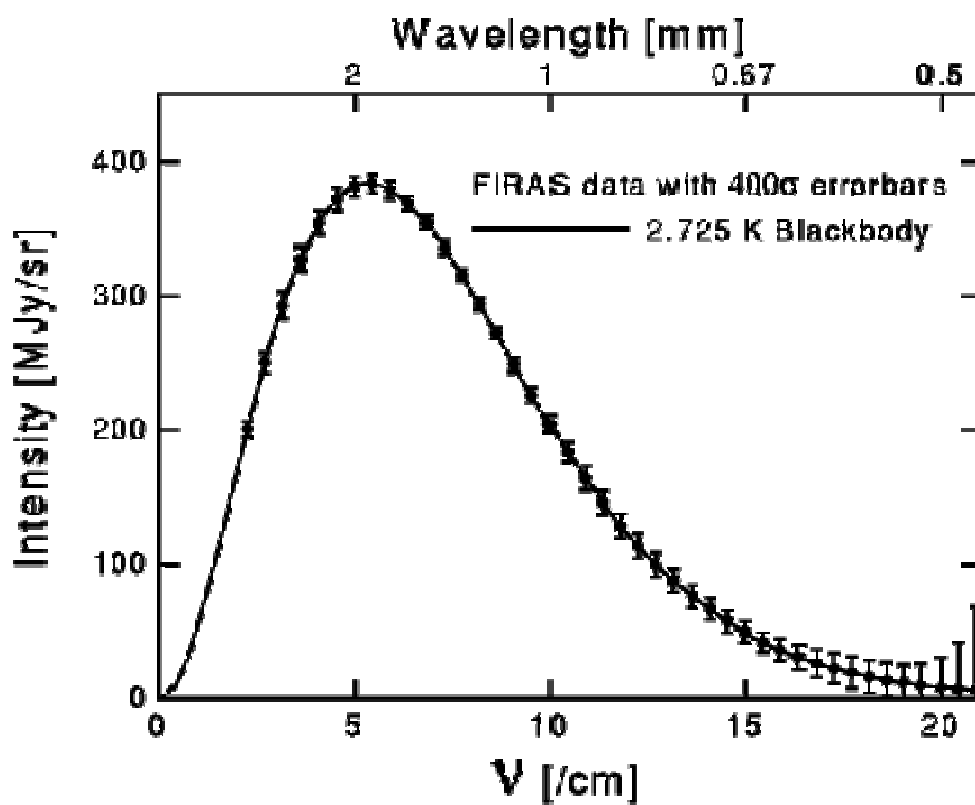
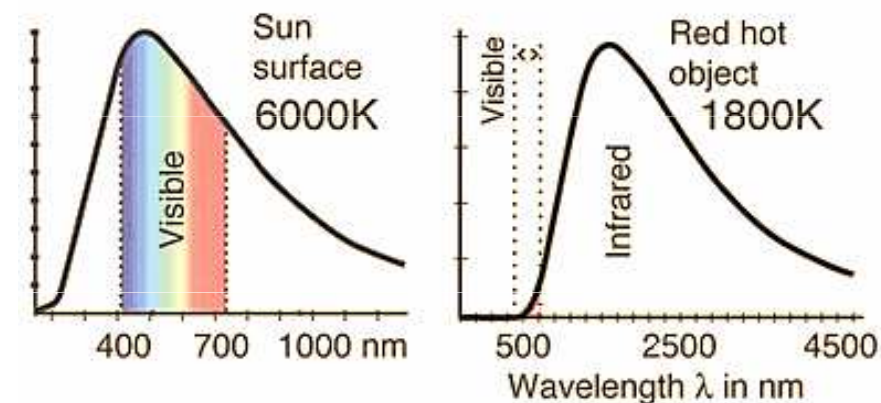
- Druhá etapa kosmologie (potvrzení).
- Penzias a Wilson, historie objevu.
- Co nám říká reliktní záření.
- Zpřesňování kosmologických parametrů umožňující dojít k realistickému modelu,
- Průhled do raných fází vývoje vesmíru.



Analýza reliktního záření

Potvrzena Planckova křivka

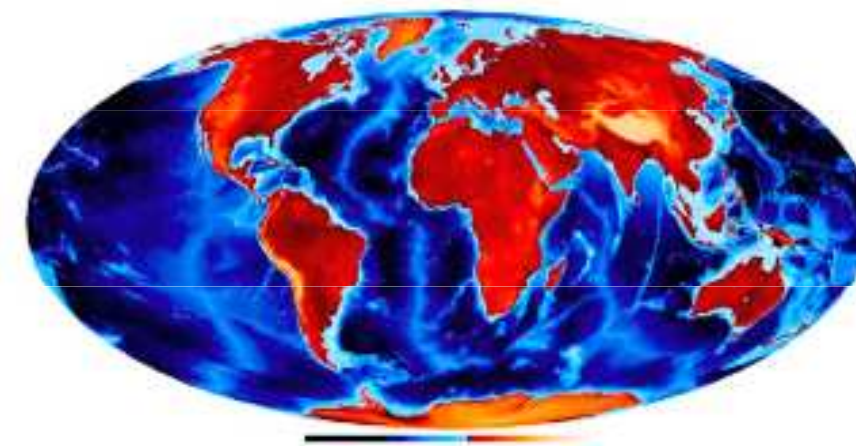
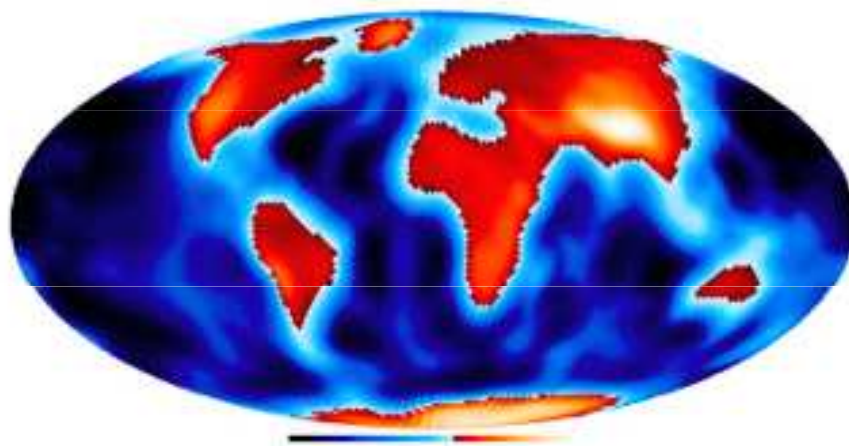
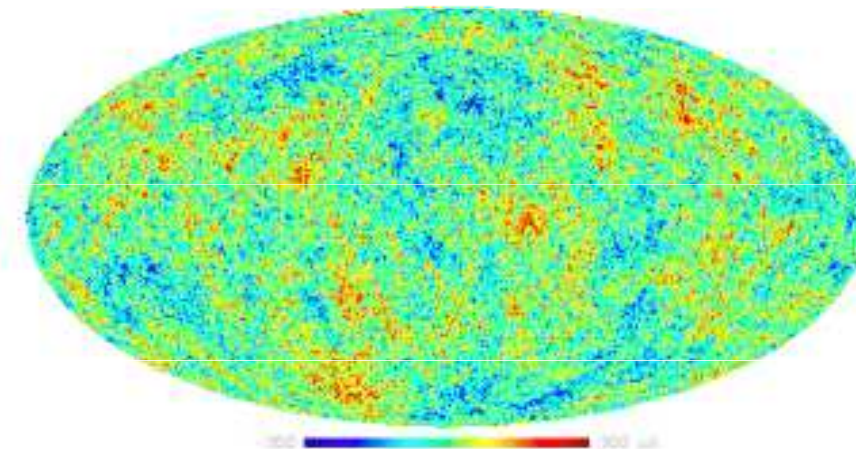
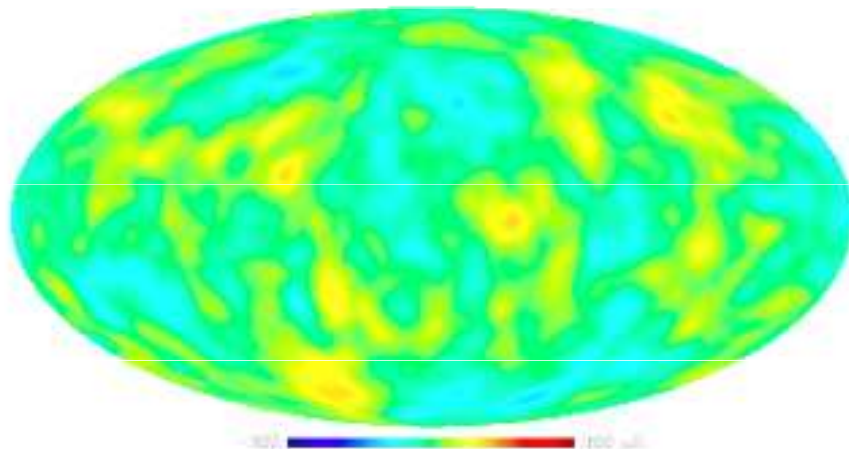
.





Nehomogenity reliktního záření

Odfiltrování vlivů záření galaxie a pohybu sluneční soustavy a Země.



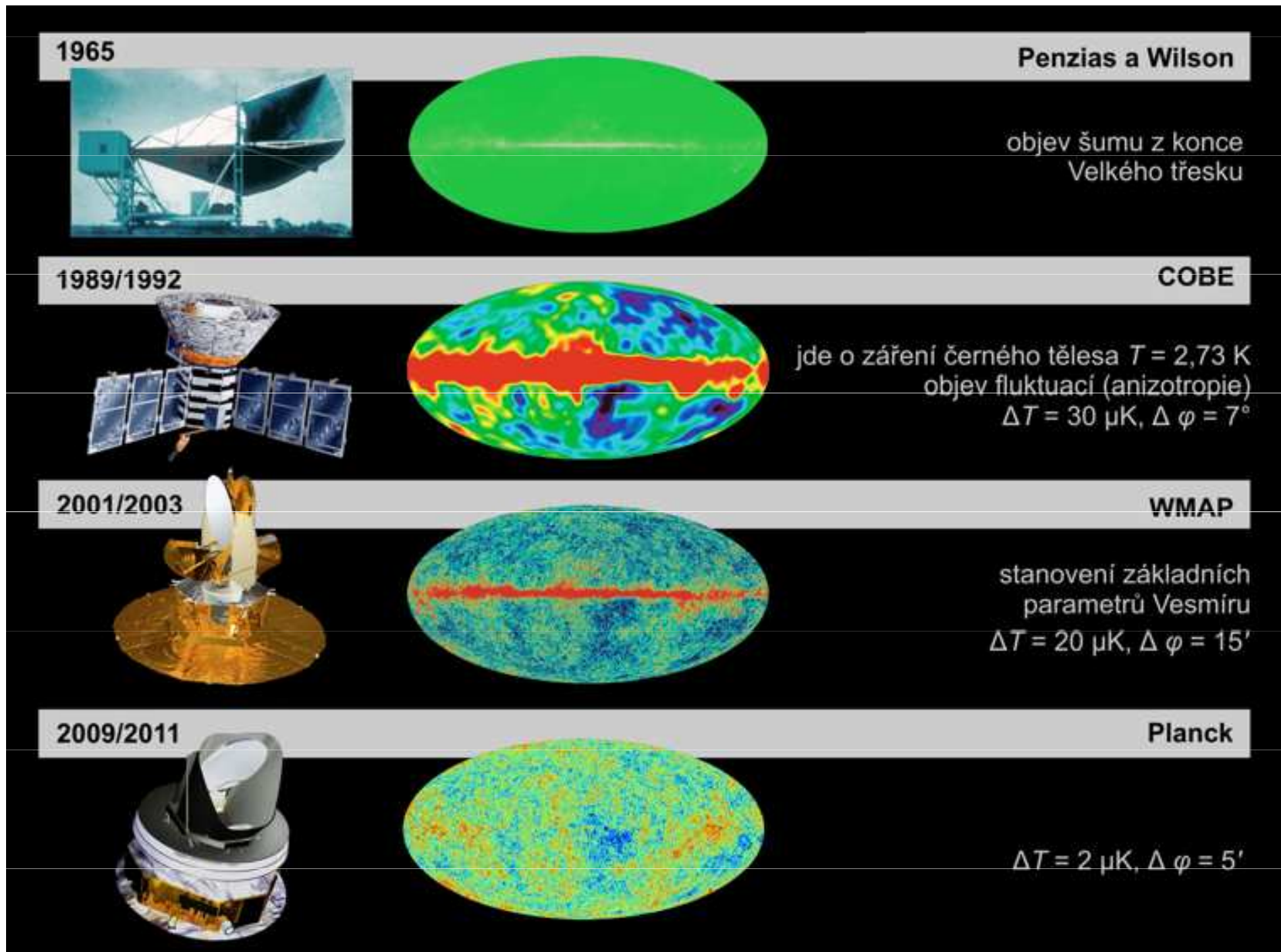


Revealing the Cosmic Microwave Background



planck

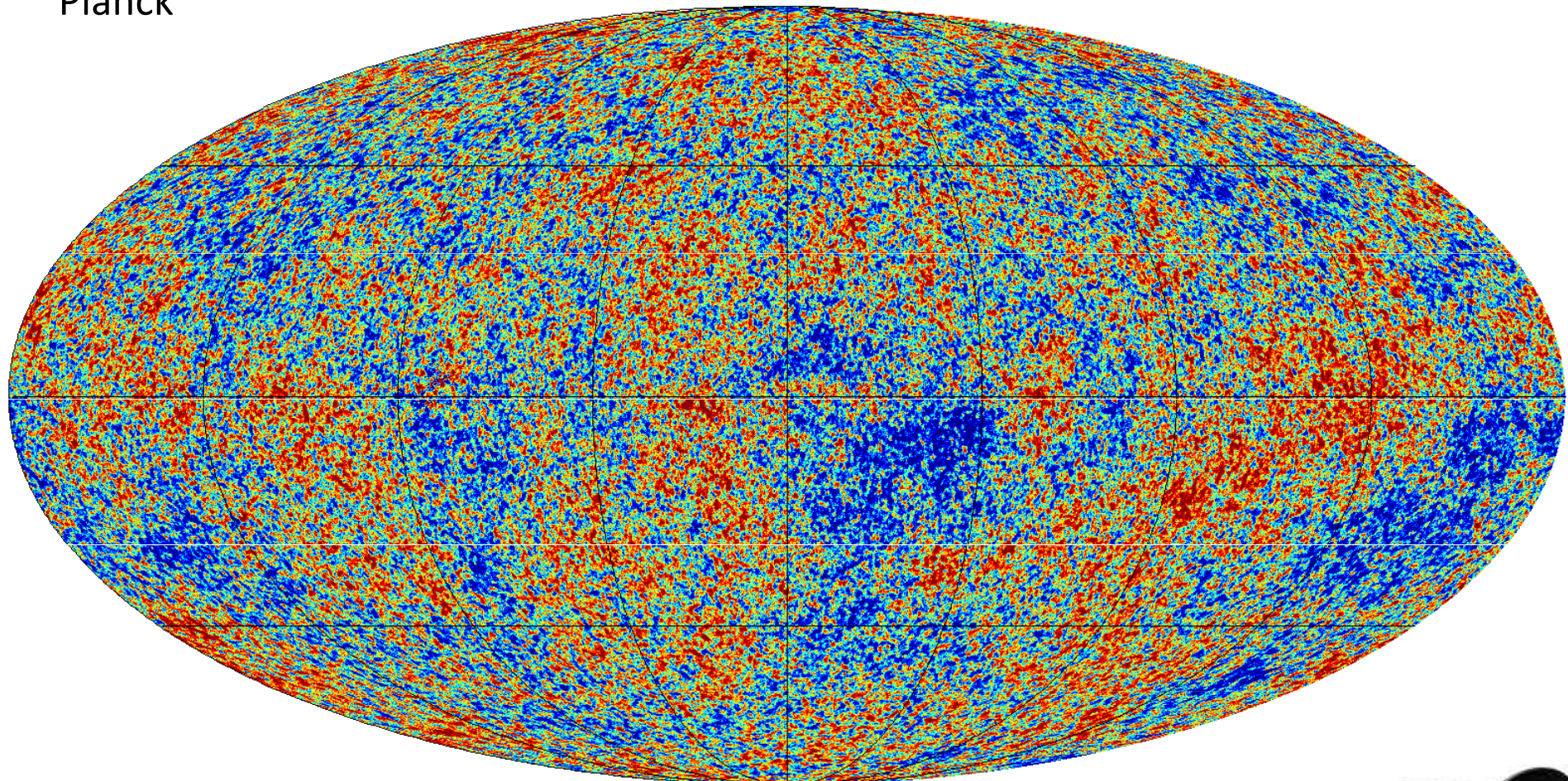
Zpřesňování



COM_CompMap_CMB-nilc_2048_R1.20 INP_CMB

Planck

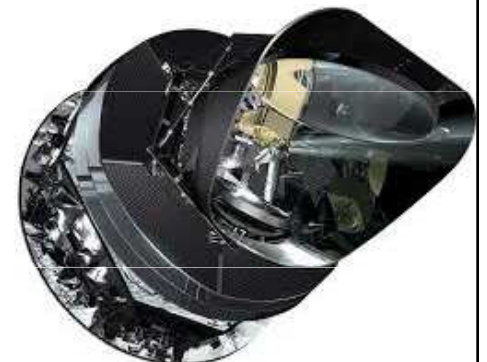
2048 NESTED GALACTIC



-677

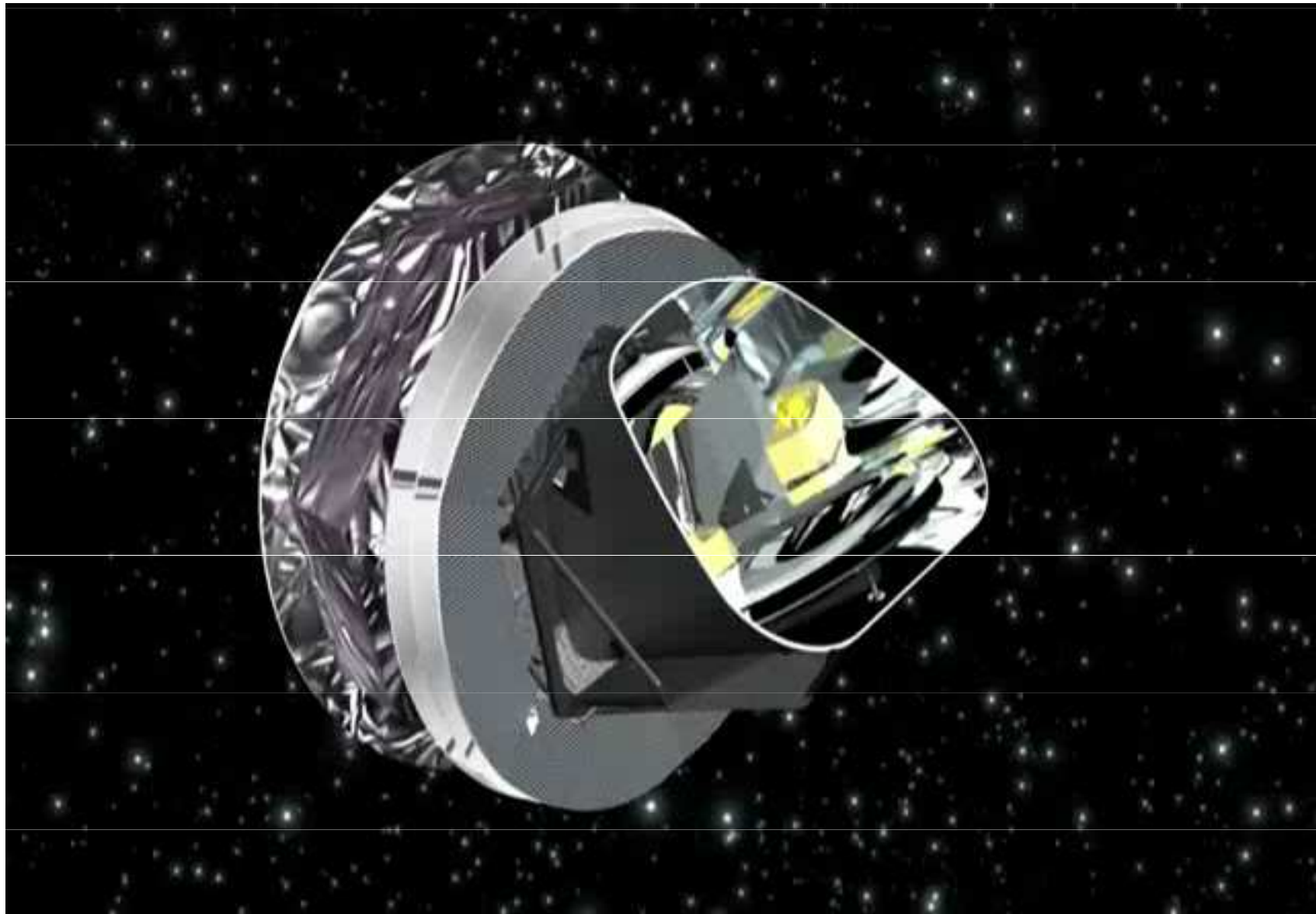
1409 uK_cmb

$$-\frac{\Delta T_{\text{from}}}{T_{\text{from}}} \rightarrow \frac{\Delta \rho_{\text{plasma}}}{\rho_{\text{plasma}}}$$



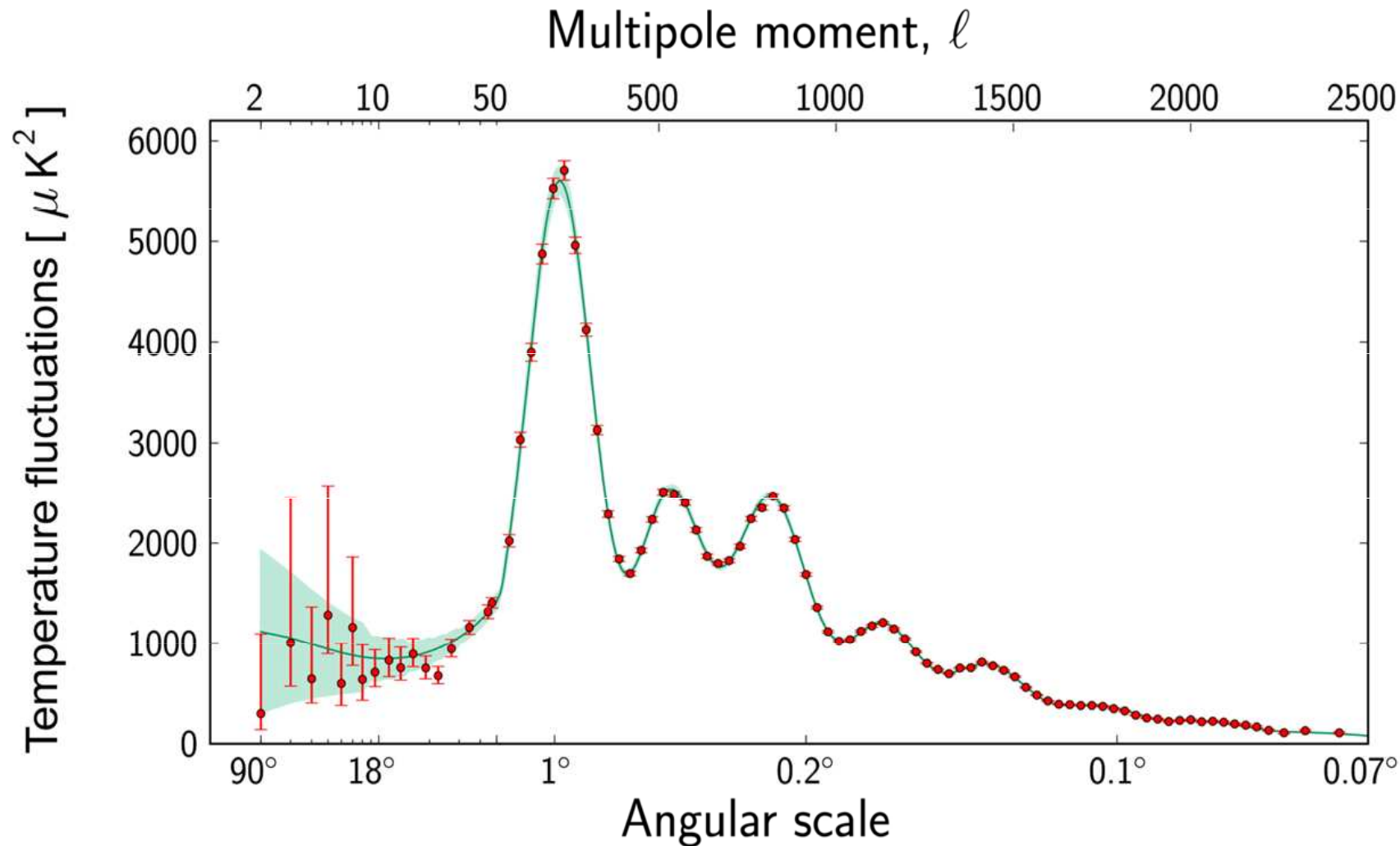
L0



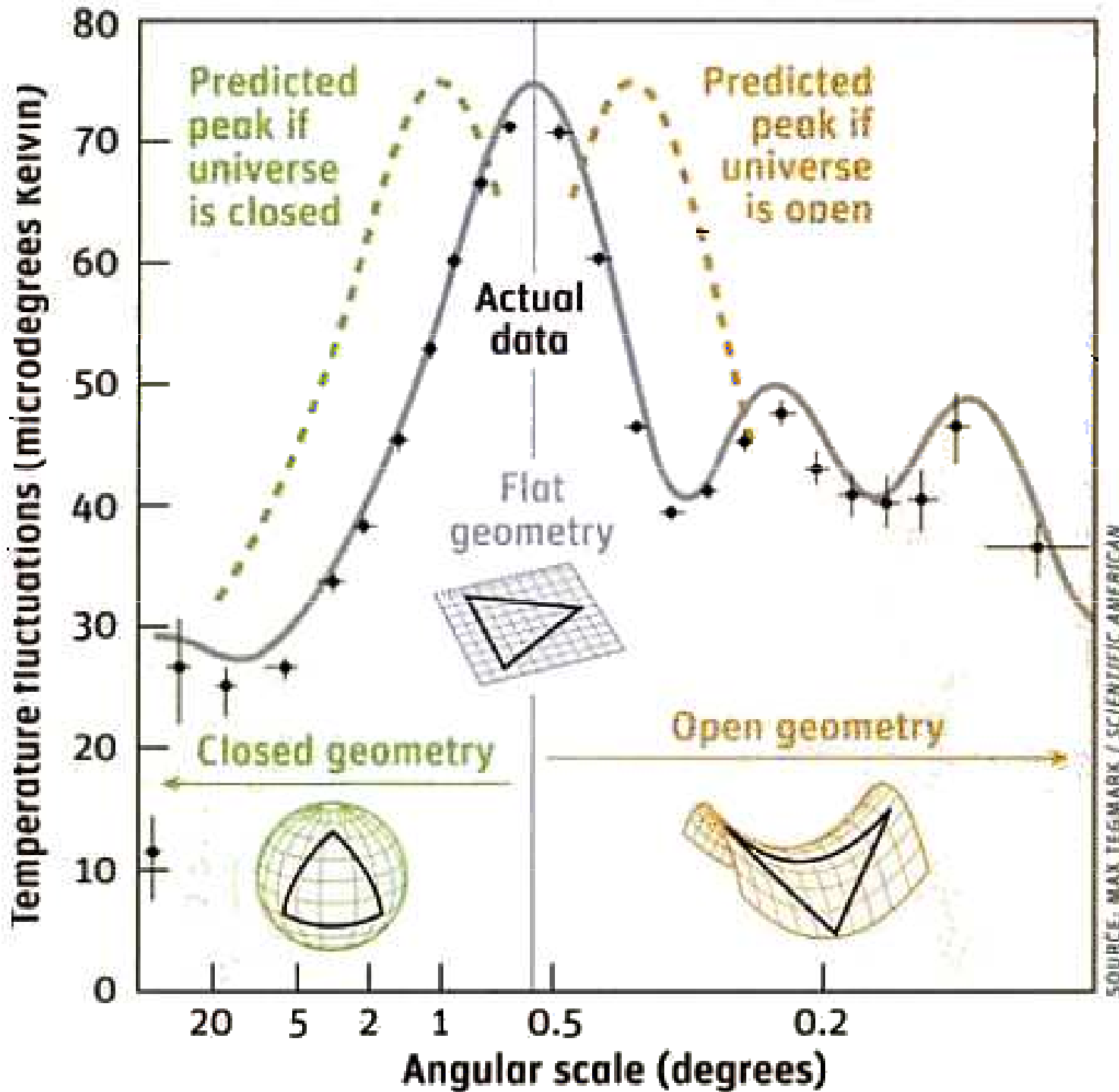


Práce sondy „skenující“ Planck

Závislost četnosti nehomogenit na úhlovém rozlišení (hrby).



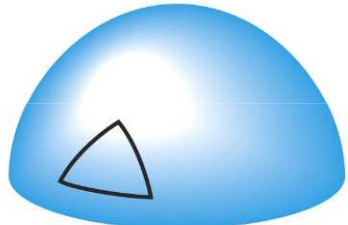
Animace grafu



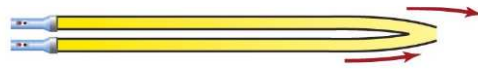
SOURCE: MAX TEGMARK / SCIENTIFIC AMERICAN



Obraz teplotních fluktuací závisí na geometrii vesmíru



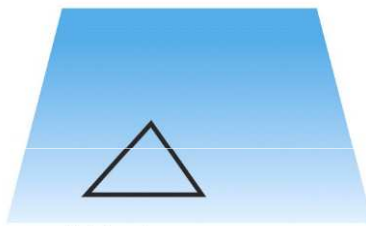
sférický prostor



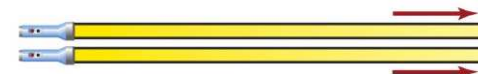
paprsky se sbíhají

$$\rho_0 > \rho_c, \Omega_0 > 1$$

Je-li $\rho_0 > \rho_c$, a hustotní parameter $\Omega_0 > 1$, vesmír je uzavřený a prostor je sférický



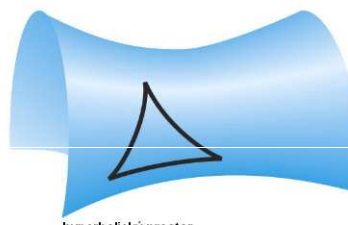
plochý prostor



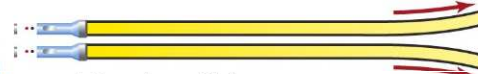
paprsky zůstavají paralelní

$$\rho_0 = \rho_c, \Omega_0 = 1$$

Je-li $\rho_0 = \rho_c$, a hustotní parameter $\Omega_0 = 1$, prostor je plochý



hyperbolický prostor

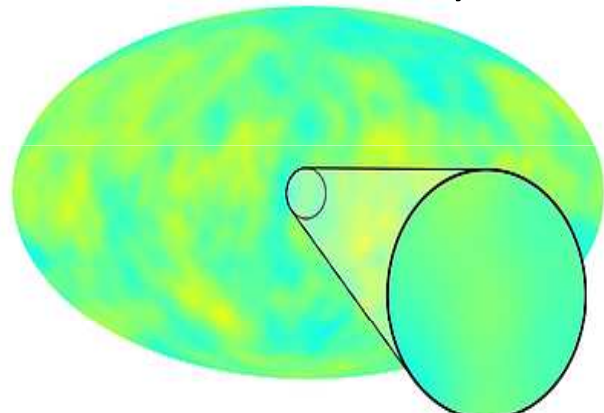


paralelní paprsky se rozvíhají

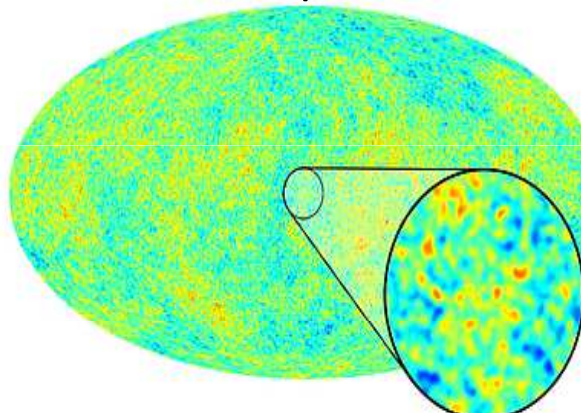
$$\rho_0 < \rho_c, \Omega_0 < 1$$

Je-li $\rho_0 < \rho_c$, a hustotní parameter $\Omega_0 < 1$, vesmír je otevřený a prostor je hyperbolický

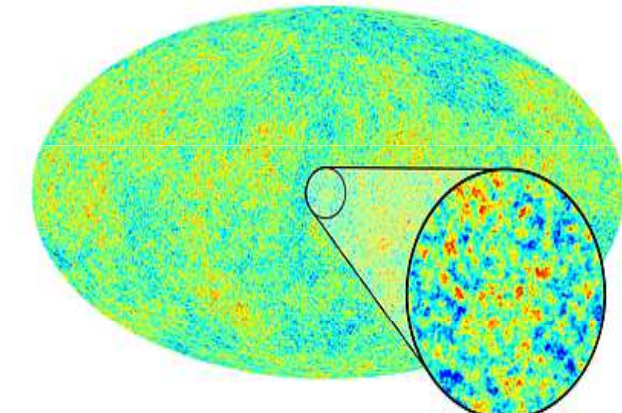
Vyhodnocování anizotropií



COBE



WMAP



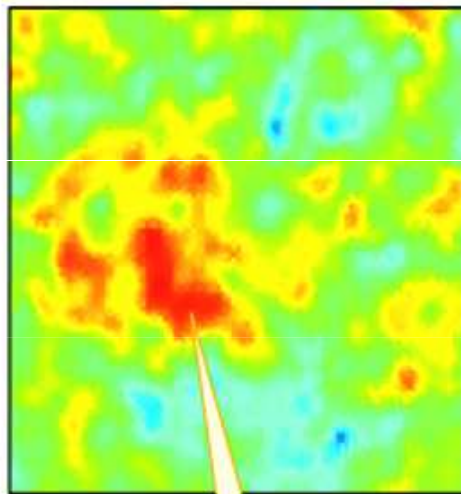
Planck



Zdánlivý úhel, to, jak vidíme skvrnu, závisí na geometrii vesmíru.

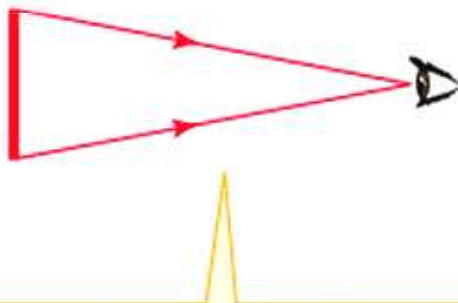


Je-li vesmír uzavřený,
paprsky se ohýbají
k sobě

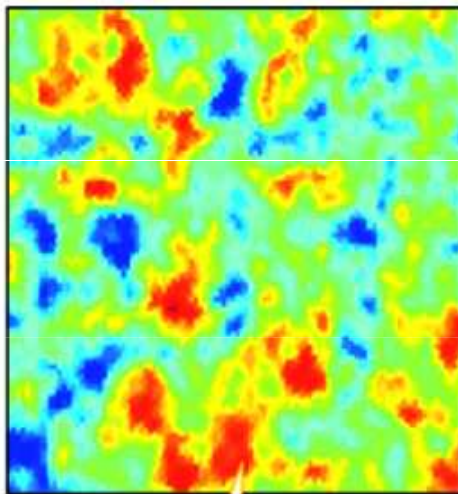


(a)

... výsledkem je, že skvrny
se nám jeví větší než
doopravdy jsou

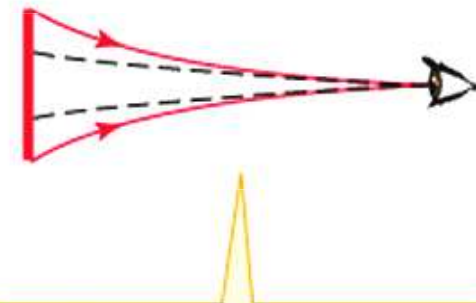


Je-li plochý, původní úhel
se zachovává

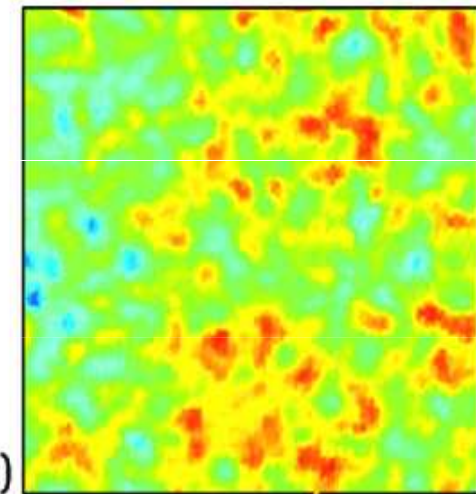


(b)

... skvrny vidíme v
odpovídající velikosti



Je-li otevřený, paprsky
se ohýbají od sebe



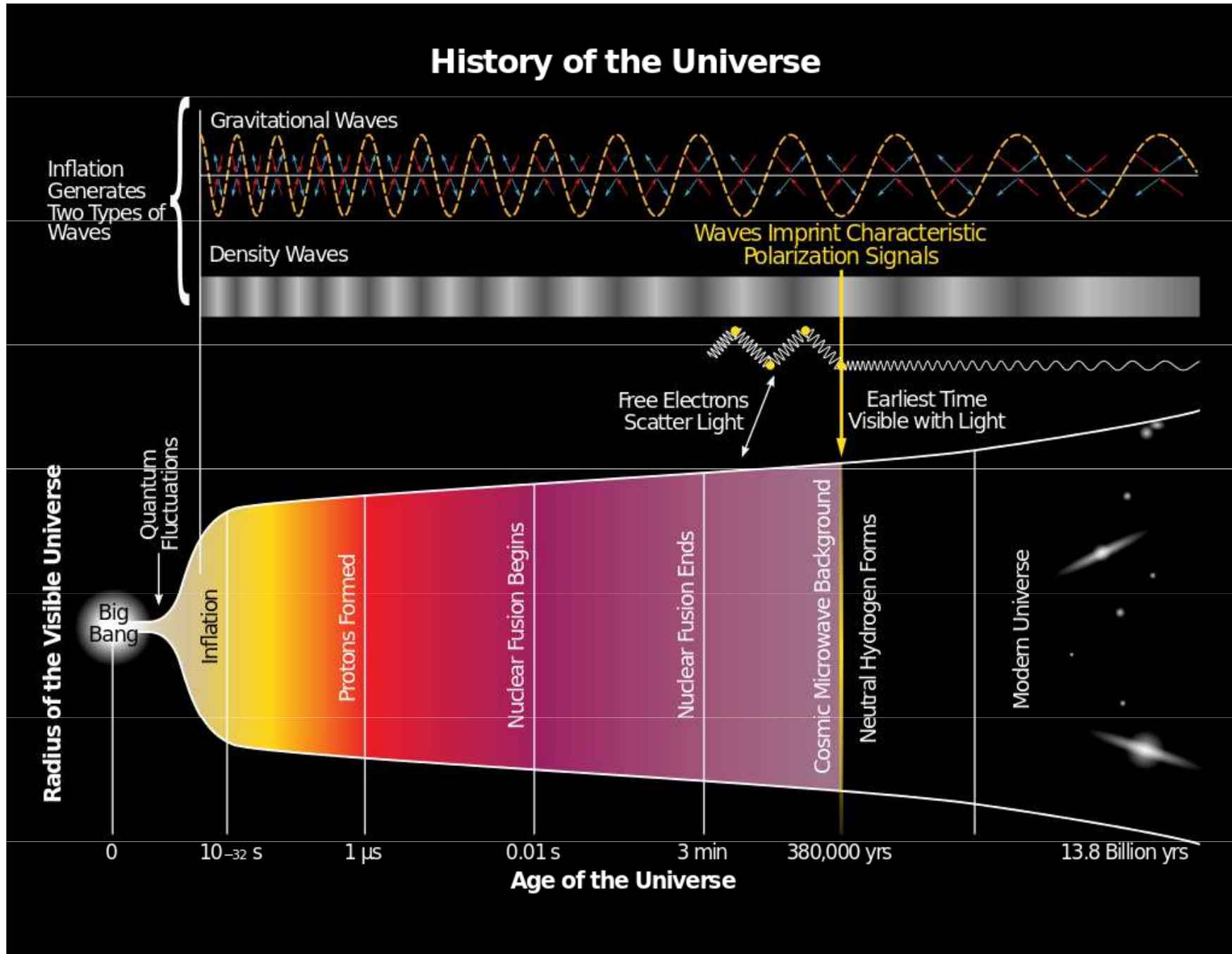
(c)

... skvrny se nám jeví
menší, než jaké skutečně
jsou

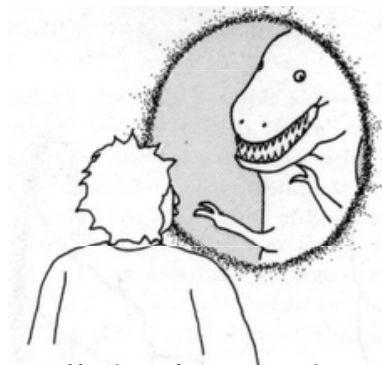
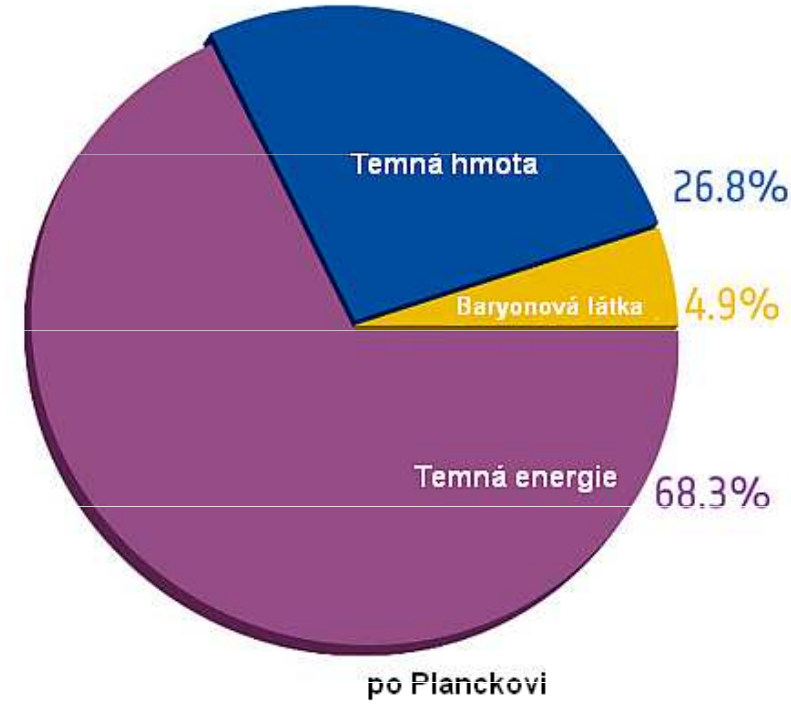
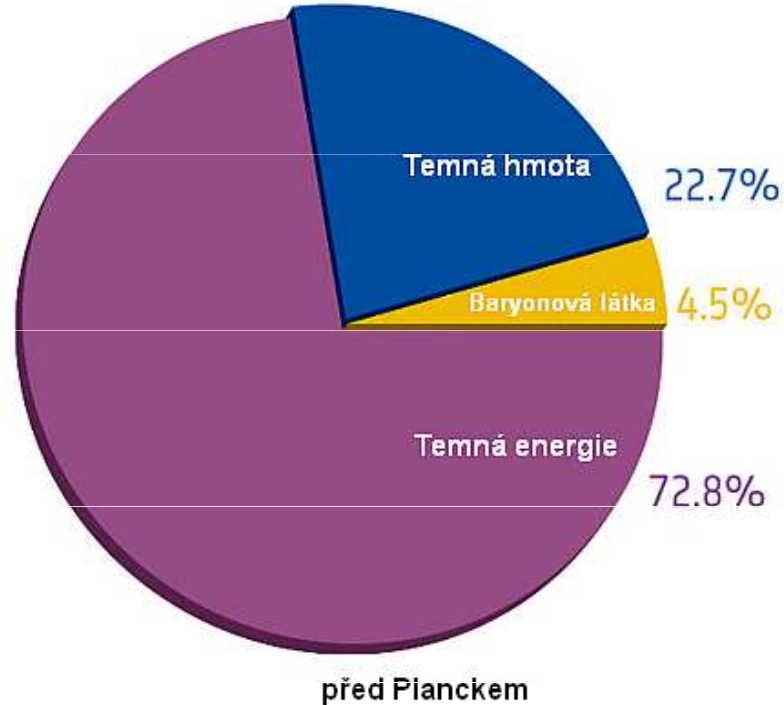


Polarizace

- Polarizace reliktního záření. Co to je a co nám říká. Inflační fáze, gravitační vlny.



Na závěr



Hubbleova konstanta $H (71 \pm 4) \text{ km s}^{-1} \text{ Mpc}^{-1}$
Stáří Vesmíru $13,798 \pm 0.037$ miliard let

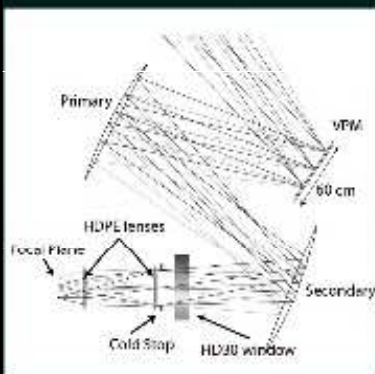
Ty však, ó Zarathustro,
chtěl jsi všech věcí viděti pozadí a dno: tak ti již nezbývá než stoupati přes sebe samého,
vzhůru, výš, až i své hvězdy budeš míti pod sebou!



Planck



CLASS



ABS



BICEP2/Keck



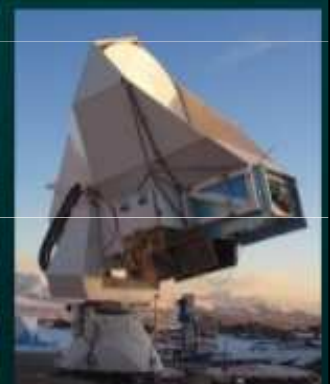
SPIDER



EBEX



Polarbear



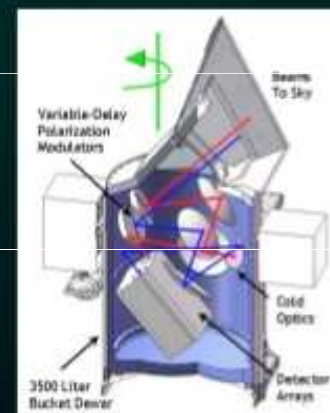
QUIJOTE



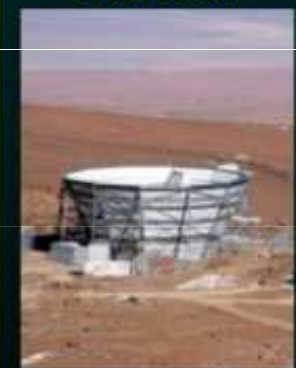
POLAR-1



PIPER



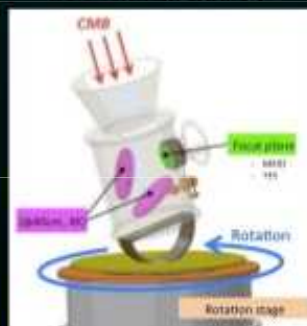
ACTPol



SPTpol



GroundBIRD



QUBIC

